

JC

# 中华人民共和国建材行业标准

JC/T 544—94

## 玻璃纤维拉丝炉热平衡测定与 计算方法

1994-03-26发布

1994-12-01实施

国家建筑材料工业局 发布

中华人民共和国建材行业标准  
玻璃纤维拉丝炉热平衡测定与  
计 算 方 法

JC/T 544—94

### 1 主题内容与适用范围

本标准规定了玻璃纤维拉丝炉热平衡的测定准则、测定步骤及计算方法。

本标准适用于玻璃纤维拉丝炉的热平衡测定与计算。

### 2 仪器

- 2.1 光学高温计:允许偏差为测量值的±1.4%。
- 2.2 表面温度计:0~500℃,分度值1℃。
- 2.3 直流电位差计(附补偿导线):测量范围-1~103 mV,精度不低于0.5级。
- 2.4 单铂铑热电偶(附双孔刚玉套管):允许偏差为测量值的±0.4%。
- 2.5 铂铑合金套管及支架:套管直径10 mm,套管长度1 m。
- 2.6 秒表:量程不小于2 h,分度值0.01 s。
- 2.7 温度计:0~100℃,分度值0.1℃。
- 2.8 单相瓦特表:实测值在量程范围的1/5~4/5,精度0.5级。
- 2.9 电动式或电磁式电压电流表:实测值在量程范围的1/5~4/5,精度0.5级。
- 2.10 互感器:实测值在量程范围的1/5~4/5,精度0.5级。
- 2.11 磅秤:0~50 kg,感量25 g。
- 2.12 塑料桶:容量10 L左右。

### 3 测定准则

- 3.1 每台拉丝炉测定时间为2 h。
- 3.2 测定必须在同一工况下进行。
- 3.3 测定必须在拉丝炉作业正常、连续生产的条件下进行。
- 3.4 测定应同步进行。
- 3.5 纤维成型温度基准:

中碱,  $\mu = 10^{1.90} \text{ Pa} \cdot \text{s}$ ,  $t_{bx} = 1260^\circ\text{C}$

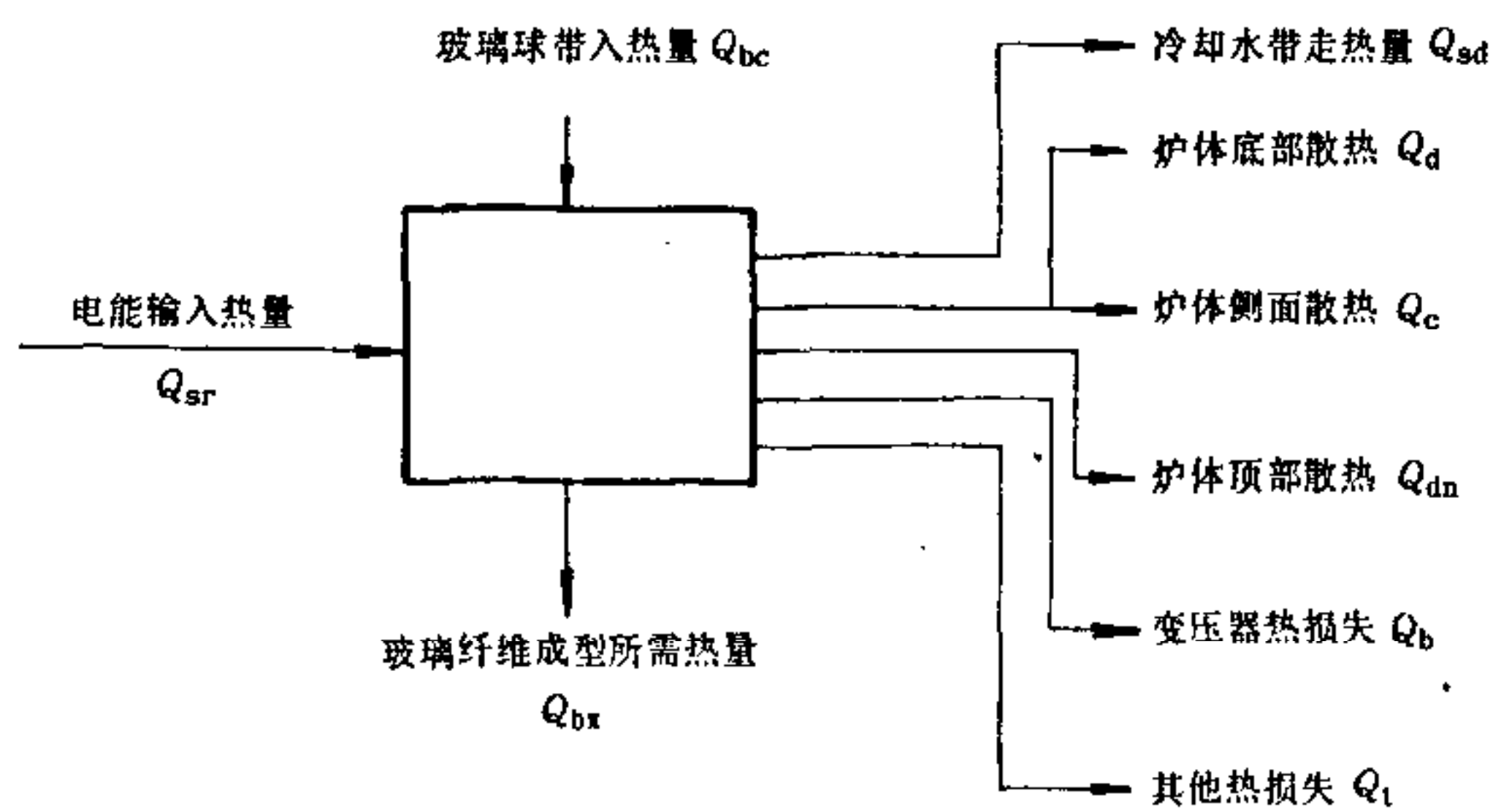
无碱,  $\mu = 10^{1.65} \text{ Pa} \cdot \text{s}$ ,  $t_{bx} = 1280^\circ\text{C}$

- 3.6 本标准中热平衡计算采用正平衡计算方法。

### 4 符号、代号

本标准采用的符号、代号见附录A(补充件)。

## 5 热平衡框图



## 6 测定步骤

### 6.1 抽样

6.1.1 抽样按不同炉型,不同产品品种分别进行。

6.1.2 同品种,不同炉龄的拉丝炉,以中、晚、早期均衡抽取为原则。

#### 6.1.3 拉丝炉抽测数量

同品种拉丝炉,3台以下时应全部测试;大于3台时,可按炉台数的一定比例抽测,其抽测台数不宜低于15%。

### 6.2 测定

#### 6.2.1 总输入热量

##### 6.2.1.1 电能输入热量

6.2.1.1.1 利用瓦特表、电压表、电流表及互感器等组合仪表进行测量。

6.2.1.1.2 炉体变压器及漏板变压器测点位于变压器的主开关出线端。

6.2.1.1.3 测定时间不少于30 min,每5 min记录一次测量数据。

#### 6.2.1.2 玻璃球带入热量

##### 6.2.1.2.1 玻璃球初始温度

用水银温度计进行测量。测点位于加球箱中心(球箱须加满),每30 min记录一次测量数据。

##### 6.2.1.2.2 玻璃球耗用量

用磅秤称量测定起止时间内所实际消耗的玻璃球的量。

#### 6.2.2 总输出热量

##### 6.2.2.1 玻璃纤维成型所需热量

##### 6.2.2.1.1 玻璃球耗用量

测量方法同6.2.1.2.2。

##### 6.2.2.2 冷却水带走热量。

##### 6.2.2.2.1 冷却水进出口温度

用水银温度计测量冷却水进水口及各冷却水管出水口的水温。

##### 6.2.2.2.2 冷却水水量

用秒表、磅秤及塑料桶等测量各冷却水管的出水流量。

#### 6.2.2.3 炉体底部散热

##### 6.2.2.3.1 漏板温度

用光学高温计测量漏板左、中、右三区域的温度,每区域测三次数据,取其算术平均值作为漏板亮度温度。

##### 6.2.2.3.2 炉体底表面温度

用表面温度计测量炉底表面温度,测点分布见附录C(补充件)。

##### 6.2.2.3.3 地面温度

用表面温度计测量。测点位于漏板正下方地面上,测量时尽量保持地面干燥,测量次数不得少于3次,取其算术平均值。

##### 6.2.2.3.4 环境温度

用水银温度计测量。沿拉丝炉前侧面中心垂直向外方向,每隔0.5m取一测点,共取六点,求其算术平均值作为环境温度。

##### 6.2.2.3.5 漏板面积

按设计图纸计算。

漏板面积=漏板底面面积-漏孔面积+漏板侧壁外露面积+漏嘴外表面积

#### 6.2.2.3.6 炉体底表面面积

按设计尺寸计算。

炉底表面面积=炉底总面积-漏板底面积

#### 6.2.2.4 炉体侧面散热

##### 6.2.2.4.1 侧表面温度

使用表面温度计测量。测点分布见附录C(补充件),碳棒孔等预留孔应用保温砖封住。

##### 6.2.2.4.2 环境温度

测量方法同6.2.2.3.4。

##### 6.2.2.4.3 侧表面面积

按设计尺寸计算。规定站在拉丝操作区观看拉丝炉,面向操作区为前侧面,面向机组平台为后侧面,左手面为左侧面,右手面为右侧面。

#### 6.2.2.5 炉体顶部散热

##### 6.2.2.5.1 炉顶表面温度

使用表面温度计测量。测点分布见附录D(补充件)。

##### 6.2.2.5.2 加球管、测液管外表面温度

使用表面温度计测量。测点位于外露长度的中点处,每管测点不少于2点,取其算术平均值。

##### 6.2.2.5.3 加球管、测液管下口气体温度

使用电子电位差计及单铂铑热电偶测量。测点位于各管下口处。取其算术平均值。

##### 6.2.2.5.4 加球管、测液管上口气体温度

使用仪表同6.2.2.5.3。测点位于各管上口处,取其算术平均值。

##### 6.2.2.5.5 环境温度

测量方法同6.2.2.3.4。

##### 6.2.2.5.6 炉顶表面积

按设计尺寸计算。

炉顶表面积=炉顶总面积-各预留孔截面积

##### 6.2.2.5.7 加球孔、测液孔截面积

按设计尺寸计算。

### 6.2.2.5.8 加球管、测液管外露面积

按管的实际外露外表面积计算。当外露高度小于10 mm时,此项不予计算。

### 6.2.2.6 变压器热损失

#### 6.2.2.6.1 使用仪表为瓦特表、电压表、电流表及互感器等。

#### 6.2.2.6.2 分别测出炉体变压器及漏板变压器的输入功率与输出功率。

### 6.2.2.7 其他热损失

其他热损失=总输入热量-玻璃纤维成型所需热量-各项热损失

## 6.3 测定记录与测定事项

测定记录与测定事项见附录B(补充件)。

## 7 计算方法

### 7.1 总输入热量

#### 7.1.1 电能输入热量 $Q_{sr}$ (kJ/h)按式(1)计算:

$$Q_{sr} = 3600P_{sr} \quad (1)$$

式中:  $P_{sr}$  —— 输入功率, kJ/h。

#### 7.1.1.1 输入功率 $P_{sr}$ (kJ/h)按式(2)计算:

$$P_{sr} = P_n \cdot K \quad (2)$$

式中:  $P_n$  —— 实测时瓦特表指示的功率, kJ/h;

$K$  —— 电流互感器倍率。

#### 7.1.2 玻璃球带入热量 $Q_{bc}$ (kJ/h)按式(3)计算:

$$Q_{bc} = M_b \cdot C_{bc} \cdot t_{bc} \quad (3)$$

式中:  $M_b$  —— 玻璃球耗用量, kg/h;

$C_{bc}$  —— 0℃到玻璃球初始温度的平均比热, kJ/(kg·℃);

$t_{bc}$  —— 玻璃球初始温度, ℃。

#### 7.1.2.1 0℃到玻璃球初始温度的平均比热 $C_{bc}$ [kJ/(kg·℃)]中碱、无碱分别按式(4)、(5)计算:

$$C_{bc} = \frac{0.000\ 502t_{bc} + 0.174\ 555}{0.001\ 46t_{bc} + 1} \times 4.186\ 8 \quad (4)$$

$$C_{bc} = \frac{0.000\ 469t_{bc} + 0.172\ 224}{0.001\ 46t_{bc} + 1} \times 4.186\ 8 \quad (5)$$

式中:  $t_{bc}$  —— 玻璃球初始温度, ℃。

### 7.2 总输出热量

#### 7.2.1 玻璃纤维成型所需热量 $Q_{bx}$ (kJ/h)按式(6)计算:

$$Q_{bx} = M_b \cdot C_{bx} \cdot t_{bx} \quad (6)$$

式中:  $M_b$  —— 玻璃球耗用量, kg/h;

$C_{bx}$  —— 0℃到玻璃纤维成型温度的平均比热, kJ/(kg·℃);

$t_{bx}$  —— 玻璃纤维成型温度, ℃。

#### 7.2.1.1 0℃到玻璃纤维成型温度的平均比热 $C_{bx}$ , kJ/(kg·℃), 计算方法同 7.1.2.1。

#### 7.2.2 冷却水带走热量 $Q_{sd}$ (kJ/h)按式(7)计算:

$$Q_{sd} = \sum_{i=1}^n M_i C_s (t_{ci} - t_j) \quad (7)$$

式中:  $M_i$  —— 第  $i$  次测量的冷却水水量, kg/h;

$C_s$  —— 水的比热见附录D(补充件), kJ/(kg·℃);

$t_{ci}$  —— 第  $i$  次测量的冷却水出水温度, ℃;





$$a_{gw} = \left[ 2.2(t_{gw} - t_0)^{0.25} + \alpha_0 \epsilon_g \frac{\left( \frac{t_{gw} + 273}{100} \right)^4 - \left( \frac{t_0 + 273}{100} \right)^4}{t_{gw} - t_0} \right] \times 4.1868 \quad \dots\dots\dots (22)$$

式中:  $\alpha_{gw}$  ——管外表面散热系数,  $\text{kJ}/(\text{m}^2 \cdot \text{h} \cdot ^\circ\text{C})$ ;

$A_{gw}$  —— 加球管、测液管外露外表面积,  $m^2$ ;

$t_{gw}$  ——加球管、测液管外露外表面温度, °C;

$t_0$  — 环境温度,  $^{\circ}\text{C}$ ;

$\alpha_0$  —— 绝对黑体的辐射系数,  $\text{kJ}/(\text{m}^2 \cdot \text{h} \cdot \text{K}^4)$ ;

$\epsilon_g$  ——刚玉管的黑度,见附录 D(补充件)。

7.2.5.5 炉体顶部散热  $Q_{dn}$  (kJ/h)按式(23)计算:

式中： $Q_{dnb}$  —— 顶表面散热，kJ/h；

$Q_{kf}$  —— 加球孔、测液孔辐射散热, kJ/h;

$Q_{ky}$  —— 加球孔、测液孔逸出气体热损失, kJ/h;

$Q_{gw}$  ——加球管、测液管外露外表面对周围环境的对流与辐射散热，kJ/h。

#### 7.2.6 变压器热损失 $Q_b$ , kJ/h

7.2.6.1 炉体变压器损耗  $P_g$  (kJ/h)按式(24)计算:

式中： $P_{gl}$  —— 炉体变压器一次侧功率，kJ/h；

$P_{g2}$  — 炉体变压器二次侧功率, kJ/h。

7.2.6.2 漏板变压器损耗  $P_L$  (kJ/h)按式(25)计算:

式中： $P_{L1}$  ——漏板变压器一次侧功率，kJ/h；

$P_{L2}$  ——漏板变压器二次侧功率, kJ/h。

7.2.6.3 变压器热损失  $Q_b$  (kJ/h)按式(26)计算:

式中： $P_g$  —— 炉体变压器损耗，kJ/h；

$P_L$  — 漏板变压器损耗, kJ/h。

7.2.7 其他热损失  $Q_t$  (kJ/h) 按式(27)计算:

式中： $Q_{st}$  —— 电能输入热量，kJ/h；

$Q_{bc}$  — 玻璃球带入热量, kJ/h;

$Q_{bx}$  — 玻璃纤维成型所需热量, kJ/h;

$Q_{\text{吸}}$  —— 冷却水带走热量, kJ/h;

$Q_d$  — 炉体底部散热, kJ/h;

$Q_s$  — 炉体侧面散热, kJ/h;

$Q_{dn}$  — 炉体顶部散热, kJ/h;

$Q_b$  —— 变压器热损失, kJ/h。

7.3 热效率  $\eta$  (%)按式(28)计算:

式中： $Q_{yx}$  ——有效热量，数值上等于熔化玻璃球所需热量，kJ/h；

$Q_{st}$  — 总输入热量, kJ/h;

$Q_{bx}$  — 玻璃纤维成型所需热量, kJ/h;

$Q_{bc}$  — 玻璃球带入热量, kJ/h。

8 数据处理

按 GB 8170《数值修约规则》执行。

## 9 热平衡计算结果

热平衡计算结果汇总见表 1。

表 1

序号	热收入项目	数值 kJ	百分数 %	热支出项目	数值 kJ	百分数 %
1	电能输入热量 $Q_{sr}$			玻璃纤维成型所需热量 $Q_{bx}$		
2	玻璃球带入热量 $Q_{bc}$			冷却水带走热量 $Q_{sd}$		
3				炉体底部散热量 $Q_d$		
4				炉体侧面散热量 $Q_c$		
5				炉体顶部散热量 $Q_{da}$		
6				变压器热损失 $Q_b$		
7				其他热损失 $Q_i$		
8	合 计		100	合 计		100
	有效热量 $Q_{yx}$ , kJ					
	热效率 $\eta$ , %					

附录 A  
符号、代号与说明  
(补充件)

**A1 符号、代号与说明如下:**

- $A_d$  拉丝炉底面面积,  $\text{m}^2$ ;
- $A_{dn}$  拉丝炉顶面面积,  $\text{m}^2$ ;
- $A_{gg}$  加球孔、测液孔面积,  $\text{m}^2$ ;
- $A_{gw}$  加球管、测液管外露外表面积,  $\text{m}^2$ ;
- $A_{hc}$  拉丝炉后侧面面积,  $\text{m}^2$ ;
- $A_L$  漏板面积,  $\text{m}^2$ ;
- $A_{qc}$  拉丝炉前侧面面积,  $\text{m}^2$ ;
- $A_{yc}$  拉丝炉右侧面面积,  $\text{m}^2$ ;
- $A_{zc}$  拉丝炉左侧面面积,  $\text{m}^2$ ;
- $C_0$  0℃时空气的比热,  $\text{kJ}/(\text{kg} \cdot ^\circ\text{C})$ ;
- $C_{bc}$  0℃到玻璃球初始温度的平均比热,  $\text{kJ}/(\text{kg} \cdot ^\circ\text{C})$ ;
- $C_{bx}$  0℃到玻璃纤维成型温度的平均比热,  $\text{kJ}/(\text{kg} \cdot ^\circ\text{C})$ ;
- $C_s$  水的比热,  $\text{kJ}/(\text{kg} \cdot ^\circ\text{C})$ ;
- $g$  重力加速度,  $\text{m}/\text{s}^2$ ;
- $H$  加球孔、测液孔高度,  $\text{m}$ ;
- $K$  电流互感器倍率;
- $M_b$  玻璃球耗用量,  $\text{kg}/\text{h}$ ;
- $M_i$  第  $i$  次测量的冷却水水量,  $\text{kg}/\text{h}$ ;
- $P_g$  炉体变压器损耗,  $\text{kJ}/\text{h}$ ;
- $P_{g1}$  炉体变压器一次侧功率,  $\text{kJ}/\text{h}$ ;
- $P_{g2}$  炉体变压器二次侧功率,  $\text{kJ}/\text{h}$ ;
- $P_L$  漏板变压器损耗,  $\text{kJ}/\text{h}$ ;
- $P_{L1}$  漏板变压器一次侧功率,  $\text{kJ}/\text{h}$ ;
- $P_{L2}$  漏板变压器二次侧功率,  $\text{kJ}/\text{h}$ ;
- $P_n$  实测时瓦特表指示的功率,  $\text{kJ}/\text{h}$ ;
- $P_{nr}$  输入功率,  $\text{kJ}/\text{h}$ ;
- $Q_b$  变压器热损失,  $\text{kJ}/\text{h}$ ;
- $Q_{bc}$  玻璃球带入热量,  $\text{kJ}/\text{h}$ ;
- $Q_{bx}$  玻璃纤维成型所需热量,  $\text{kJ}/\text{h}$ ;
- $Q_c$  拉丝炉侧面散热,  $\text{kJ}/\text{h}$ ;
- $Q_d$  拉丝炉底部散热,  $\text{kJ}/\text{h}$ ;
- $Q_{db}$  拉丝炉底表面散热,  $\text{kJ}/\text{h}$ ;
- $Q_{dn}$  拉丝炉顶部散热,  $\text{kJ}/\text{h}$ ;
- $Q_{dnb}$  拉丝炉顶表面散热,  $\text{kJ}/\text{h}$ ;
- $Q_{gw}$  加球管、测液管外露外表面对周围环境的对流与辐射散热,  $\text{kJ}/\text{h}$ ;
- $Q_{hc}$  拉丝炉后侧面散热,  $\text{kJ}/\text{h}$ ;

$Q_{kf}$	加球孔、测液孔辐射散热,kJ/h;
$Q_{ky}$	加球孔、测液孔逸出气体热损失,kJ/h;
$Q_{Ld}$	漏板对流散热,kJ/h;
$Q_{Lf}$	漏板辐射散热,kJ/h;
$Q_{qc}$	拉丝炉前侧面散热,kJ/h;
$Q_{sd}$	冷却水带走热量,kJ/h;
$Q_{sr}$	电能输入热量,kJ/h;
$Q_t$	其他热损失,kJ/h;
$Q_{yc}$	拉丝炉右侧面散热,kJ/h;
$Q_{yx}$	有效热量,kJ/h;
$Q_{zc}$	拉丝炉左侧面散热,kJ/h;
$r_{ks}$	加球孔、测液孔上口温度下空气重度,kg/m <sup>3</sup> ;
$r_{kx}$	加球孔、测液孔下口温度下空气重度,kg/m <sup>3</sup> ;
$t_0$	环境温度,℃;
$t_{bc}$	玻璃球初始温度,℃;
$t_{bx}$	玻璃纤维成型温度,℃;
$t_{ci}$	第 <i>i</i> 次测量的冷却水出水温度,℃;
$t_{db}$	拉丝炉底表面温度,℃;
$t_{dm}$	漏板下方地面温度,℃;
$t_{dnb}$	拉丝炉顶表面温度,℃;
$t_{gw}$	加球管、测液管外露外表面温度,℃;
$t_{hc}$	拉丝炉后侧表面温度,℃;
$t_j$	冷却水进水温度,℃;
$t_{kx}$	加球孔、测液孔下口处气体温度,℃;
$t_L$	漏板温度,℃;
$t_{La}$	漏板亮度温度,℃;
$t_{qc}$	拉丝炉前侧表面温度,℃;
$t_{yc}$	拉丝炉右侧表面温度,℃;
$t_{zc}$	拉丝炉左侧表面温度,℃;
$\alpha_0$	绝对黑体的辐射系数,kJ/(m <sup>2</sup> ·h·K <sup>4</sup> );
$\alpha_d$	拉丝炉底面散热系数,kJ/(m <sup>2</sup> ·h·℃);
$\alpha_{dn}$	拉丝炉顶面散热系数,kJ/(m <sup>2</sup> ·h·℃);
$\alpha_{gw}$	管外表面散热系数,kJ/(m <sup>2</sup> ·h·℃);
$\alpha_{hc}$	拉丝炉后侧面散热系数,kJ/(m <sup>2</sup> ·h·℃);
$\alpha_{qc}$	拉丝炉前侧面散热系数,kJ/(m <sup>2</sup> ·h·℃);
$\alpha_{yc}$	拉丝炉右侧面散热系数,kJ/(m <sup>2</sup> ·h·℃);
$\alpha_{zc}$	拉丝炉左侧面散热系数,kJ/(m <sup>2</sup> ·h·℃);
$\varepsilon_b$	高温铂的黑度;
$\varepsilon_g$	刚玉管的黑度;
$\eta$	热效率,%;
$\mu$	玻璃液粘度,Pa·s;
$\varphi$	辐射角系数;

JC/T 544—94

$\Phi$  门孔系数；  
 $\omega$  流股压缩系数。

**附录 B**  
**测定记录、测定事项**  
**(补充件)**

- B1** 拉丝炉基本参数记录见表 B1。  
**B2** 拉丝炉表面温度测定记录见表 B2。  
**B3** 拉丝炉温度测定记录见表 B3。  
**B4** 拉丝炉冷却水测定记录见表 B4。  
**B5** 电能测定记录见表 B5。

表 B1

炉位号		测定日期	年 月 日	
测定人员		起止时间		
序 号	项 目	单 位	参 数	备 注
1	原丝牌号	tex		
2	漏板孔数	个		
3	炉型结构			
4	加热方式			
5	漏板到地面距离	m		
6	漏板底面积	mm <sup>2</sup>		
7	漏嘴长度	mm		
8	漏嘴内、外径	mm		
9	液面高度	mm		
10	加球管、测液管长度	mm		
11	加球管、测液管内、外径	mm		
12	炉顶面积	m <sup>2</sup>		
13	炉底面积	m <sup>2</sup>		
14	炉体左、右侧面积	m <sup>2</sup>		
15	炉体前、后侧面积	m <sup>2</sup>		
16	玻璃球耗用量	kg/h		
17	炉龄	d		
18	拉丝产量	kg/h		

JC/T 544—94

表 B2

炉位号			测定日期	年 月 日		
测定人员						
仪表型号			起止时间			
数据 项目 序数 ℃	左侧	右侧	前侧	后侧	炉顶	炉底
1						
2						
3						
4						
5						
6						
7						
8						
9						
10						
11						
12						
13						
14						
15						
16						
平均值						

表 B3

炉位号			测定日期	年 月 日		
测定人员						
仪表型号			起止时间			
序号	项 目	测 量 次 数			平均温度 ℃	
		1	2	3	4	5
1	漏板温度(左)					
2	漏板温度(中)					
3	漏板温度(右)					
4	加球孔、测液孔上口温度					
5	加球孔、测液孔下口温度					
6	漏板下方地面温度					
7	玻璃球初始温度					
8	环境温度					

## JC/T 544—94

表 B4

炉位号		测定日期	年 月 日			
测定人员						
仪表型号			起止时间			
序号	项 目	进水温度 ℃	出水温度 ℃	冷却水量 kg	测定时间 s	备 注
1	漏板翻边冷却水					
2	铜夹头冷却水(1)					
3	铜夹头冷却水(2)					
4	冷却器冷却水(1)					
5	冷却器冷却水(2)					
6	电极冷却水(1)					
7	电极冷却水(2)					

表 B5

炉位号		测定日期	年 月 日				
测定人员							
仪表型号			起止时间				
测定部位				互感器倍率	$K =$		
序号	1	2	3	4	5	6	7
时间,min	0	5	10	15	20	25	30
电流,A							
电压,V							
功率,kW/h							

附录 C  
拉丝炉表面温度测点分布  
(补充件)

C1 拉丝炉表面温度测点分布见图 C1。

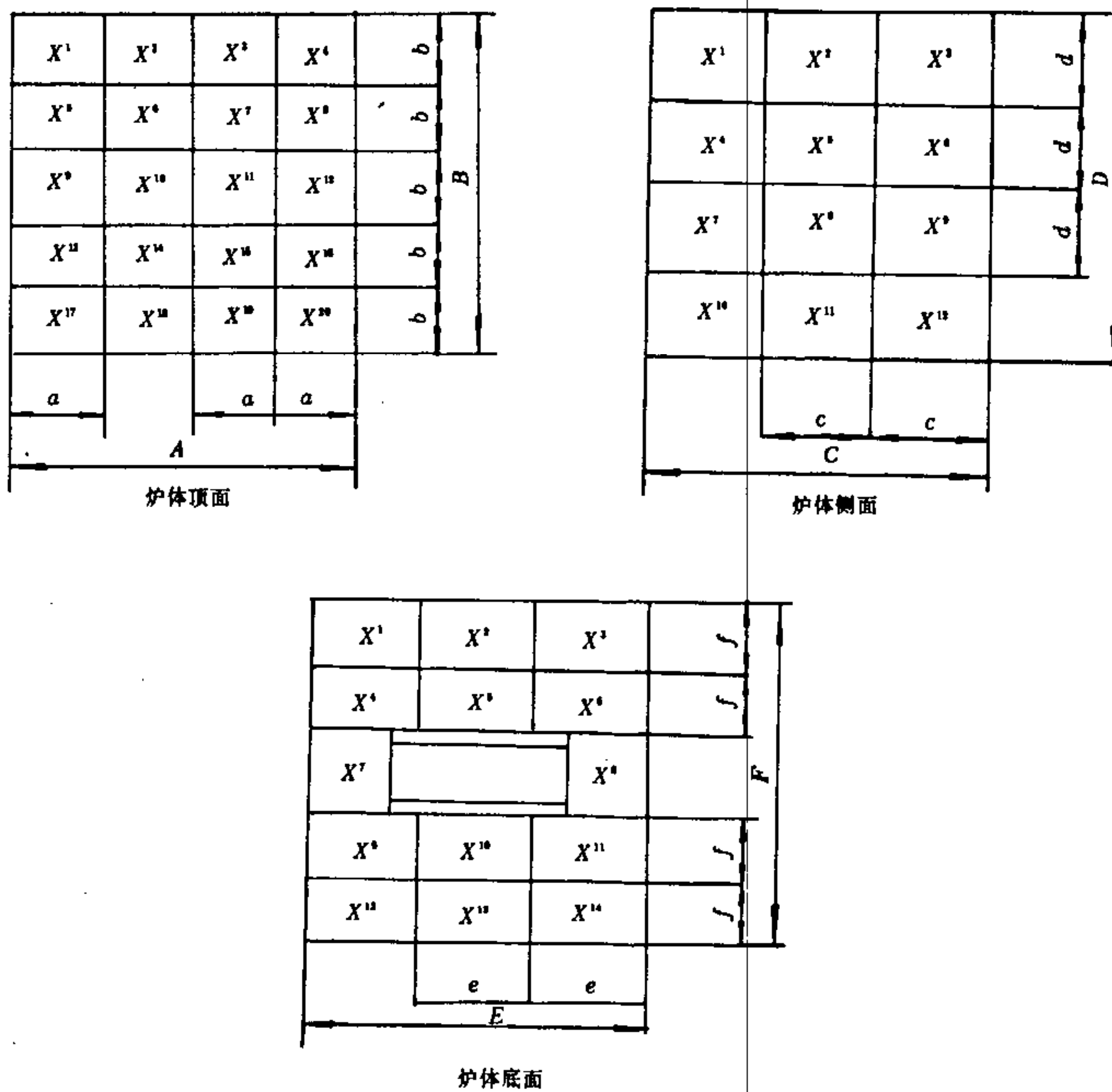


图 C1

注：上图中温度测点位于各小面积  $X^*$  的中心，如遇炉框架、钢结构或孔口时，应将测点移开。

附录 D  
数据表  
(补充件)

D1 计算用常数汇总见表 D1。

D2 门孔系数计算见图 D1。

表 D1

符 号	名 称	单 位	数 值
$C_0$	0℃时空气的比热	kJ/(kg · ℃)	1.296
$C_s$	水的比热	kJ/(kg · ℃)	4.186 8
$g$	重力加速度	m/s <sup>2</sup>	9.81
$\alpha_0$	绝对黑体辐射系数	kJ/(m <sup>2</sup> · h · K <sup>4</sup> )	20.43
$\epsilon_b$	高温铂的黑度		0.28
$\epsilon_g$	刚玉管的黑度		0.90
$\varphi$	辐射角系数		0.77
$\Phi$	门孔系数		0.30
$\omega$	流股压缩系数		0.75

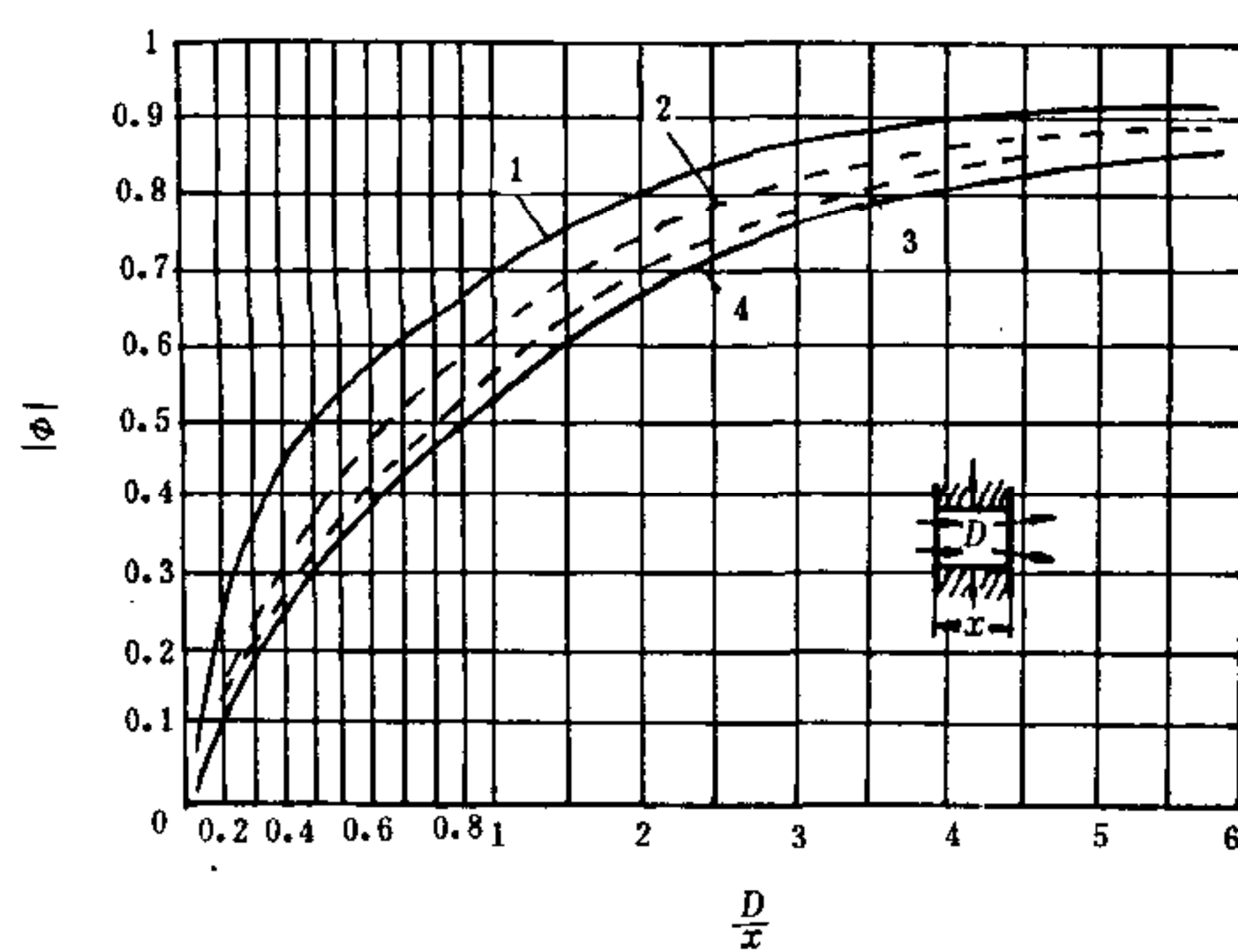


图 D1

1—伸长的长方形；2—长方形(2：1)；3—正方形；4—圆形

#### 附加说明：

本标准由南京玻璃纤维研究设计院负责起草。

本标准主要起草人赵立、李涛、申支农。

(京)新登字 023 号

中华人民共和国建材

行 业 标 准

玻璃纤维拉丝炉热平衡测定与  
计 算 方 法

JC/T 544—94

\*

中国标准出版社出版  
(北京复外三里河)

中国标准出版社秦皇岛印刷厂印刷  
新华书店北京发行所发行 各地新华书店经售  
版权专有 不得翻印

\*

开本 880×1230 1/16 印张 1 $\frac{1}{4}$  字数 29 千字  
1994年12月第一版 1994年12月第一次印刷  
印数 1—1 500

\*

标 目 253—54